

## تحديد الخواص الكهروطيسية لشرائح رقيقة ماصة للغرافيت ضمن دليل الموجة و عند التردد 2450 MHz

د. حسن غانم

### □ ملخص □

يتناول هذا البحث قياس ممانعة شرائح رقيقة Films ماصة للغرافيت عند التردد 2450 MHz بغية تعيين خواصها الكهروطيسية، كما أنه تطبيق هام من تطبيقات الطريقة الآلية لقياس الممانعات {1} التي تعمل ضمن دليل الموجة RG 112-U وتغطي المجال الترددي 2-3.4GHz والتي تستخدم خط قياس ثابت بأربعة مسابر. بعد معاير المعلومات التي تزودنا بها المسابر وذلك بواسطة مكبس مقصور متغير موضوع في نهاية خط القياس. يزودنا الحاسوب بقيم عامل الانعكاس للشريحة الملصقة في نهاية خط القياس وذلك بوضع دائرة مقصورة، دائرة مفتوحة وممانعة الحمولة الملائمة خلف الشريحة. إن قياس عوامل الانعكاس الثلاثة السابقة يسمح لنا بتحديد الخواص الكهروطيسية بسهولة

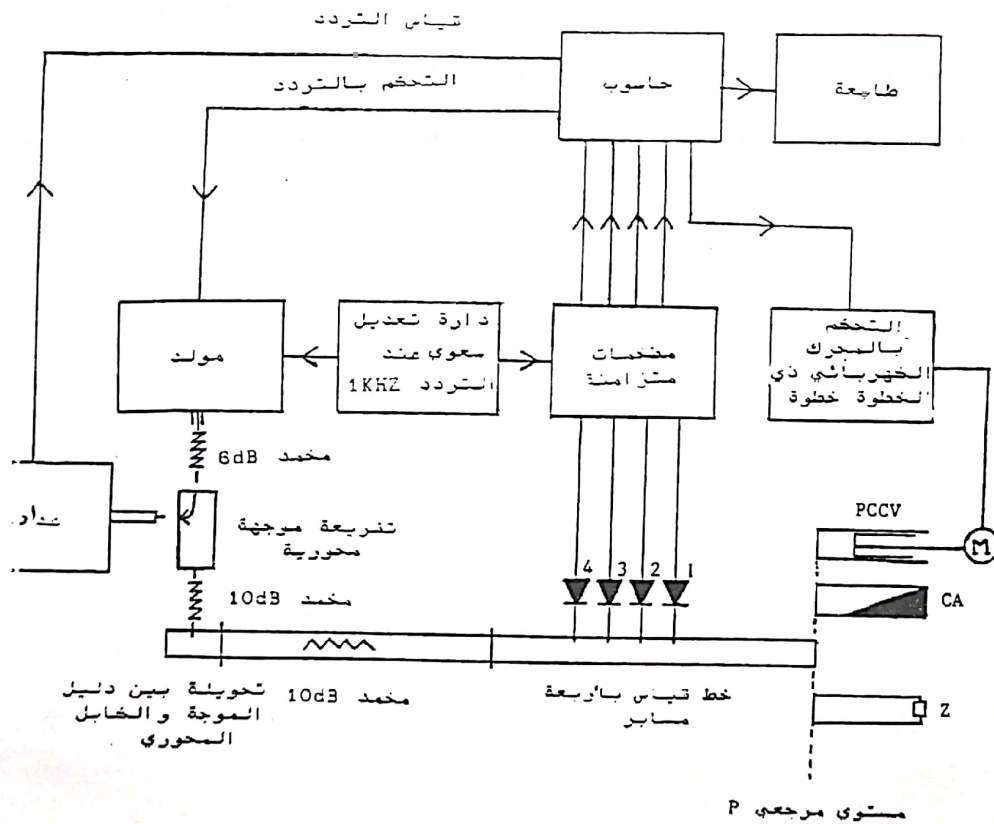
## 1- تمهيد:

إستطاعة مخرجه حوالي 10 mw، مجاله الترددي 1.8 - 4.2 GHz، يضبط التردد آلياً أو يدوياً، كما يتم تعديل إشارة المخرج تعديلاً مطابياً على التردد 1 KHz بواسطة جهد خارجي، مخمدات إشارة، مضخم متزامن بأربعة مسالك، خط قياس بأربعة مسابر، مكبس مقصور وحاسوب شخصي يقود الجملة بكاملها على نحو آلي، كما هو مبين في الشكل (1) وذلك بحسب {1}. تتم معايرة الدارة التجريبية وذلك بانتقال المكبس المقصور ضمن دليل الموجة، حيث يقاس موقعه بالنسبة لمستوي مرجعي P محدد بدقة.

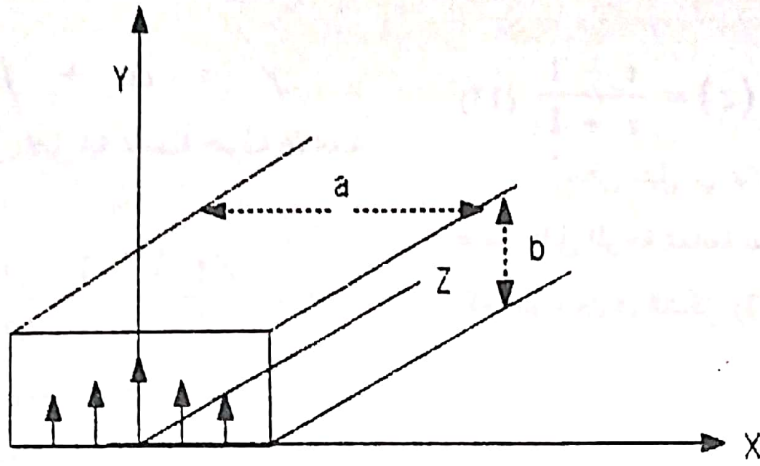
تعتبر تقنية قياس الممانعات في مجال الأمواج الميكروية Microwaves إحدى التقنيات الهامة، التي يُمكن إجراؤها ضمن دليل الموجة Waveguide دون اللجوء لمحلل الشبكات Network Analyser الباهظ الثمن، الذي يعمل بشكل تقليدي باستخدام الكابل المحوري Coaxial Cable. من أجل تعيين الخواص الكهروضيحية لشرائح رقيقة Films ماصة للتردد عند التردد 2450 Mhz.

نستخدم لهذا الغرض المخطط

التجريبي المكون من: مولد HP8350 A،



الشكل (1)



الشكل (2)

$$H_z = jE_r \sqrt{\frac{\epsilon_0}{\mu_0}} \frac{\lambda}{\lambda_g} \cos \frac{\pi x}{a} \exp\left(-j \frac{2\pi Z}{\lambda_g}\right) \quad (6)$$

ندعو المقدار  $\rho(z)$  عامل الانعكاس في نقطة معينة، فاصلتها  $Z$

$$\rho(z) = \frac{E'_y}{E_y} = \frac{E_r}{E_i} \exp\left(-j \frac{4\pi Z}{\lambda_g}\right) \quad (7)$$

بفرض أن المحور  $OZ$  موجه من المولد نحو ممانعة الحملولة، تُعطى الممانعة العقدية  $Z(z)$  بالعلاقة التالية:

$$Z(z) = Z_0 \frac{1 + \rho(z)}{1 - \rho(z)} \quad (8)$$

وأما طول الموجة الحرج  $\lambda_c$  فيعبر عنه بالعلاقة التالية:

$$\left(\frac{1}{\lambda_c}\right)^2 = \left(\frac{1}{\lambda}\right)^2 - \left(\frac{1}{\lambda_g}\right)^2 \quad (9)$$

وكما تُعطى الممانعة المميزة للدليل الموجة بعلاقة من الشكل:

$$Z_0 = 2 \sqrt{\frac{\epsilon_0}{\mu_0}} \frac{\lambda_g b}{\lambda a} \quad (10)$$

أما عامل الانتشار العقدي  $\gamma$  فيعطى بالعلاقة:

## 2- نظرية أدلة الموجة مستطيلة المقطع:

ليكن لدينا موجة  $RG \ 112-U$ ، مقطعه مستطيل، طوله  $a$  وعرضه  $b$ ، كما هو مبين في الشكل (2)، يتميز بنمط إنتشار أساسي  $TE_{10}$ ، ويتوزع الحقل الكهرومغناطيسي ضمن الدليل والذي مركباته هي (2,3,4):

$$E'_y = E_i \sin \frac{\pi x}{a} \exp\left(j \frac{2\pi Z}{\lambda_g}\right) \quad (1)$$

$$H'_x = E_i \sqrt{\frac{\epsilon_0}{\mu_0}} \frac{\lambda}{\lambda_g} \sin \frac{\pi x}{a} \exp\left(j \frac{2\pi Z}{\lambda_g}\right) \quad (2)$$

$$H'_z = jE_i \sqrt{\frac{\epsilon_0}{\mu_0}} \frac{\lambda}{2a} \cos \frac{\pi x}{a} \exp\left(j \frac{2\pi Z}{\lambda_g}\right) \quad (3)$$

نحصل على مركبات الحقل الكهرومغناطيسي المنعكس على ممانعة معينة موضوعة في نهاية الدليل، بتبديل  $E_r$  بـ  $E_i$  و  $\lambda_g$  بـ  $\lambda_g$  في العلاقات السابقة وبالتالي تصبح هذه العلاقات على الشكل:

$$E'_y = E_r \sin \frac{\pi x}{a} \exp\left(-j \frac{2\pi Z}{\lambda_g}\right) \quad (4)$$

$$H'_x = E_r \sqrt{\frac{\epsilon_0}{\mu_0}} \frac{\lambda}{\lambda_g} \sin \frac{\pi x}{a} \exp\left(-j \frac{2\pi Z}{\lambda_g}\right) \quad (5)$$

$$\rho(z) = \frac{\tau - 1}{\tau + 1} \quad (13)$$

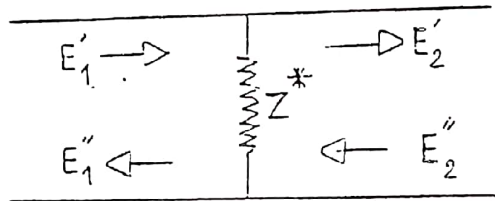
يُمكن تمثيل أي عائق رقيق موضوع ضمن دليل الموجة بممانعة تفرعية  $Z^* = r + jx$  كما هو مبين في الشكل (3):

$$\gamma = \alpha + j\beta \quad (11)$$

يُمكن تمثيل أية ممانعة حمولة بممانعة عقدية مختزلة:

$$\tau = \frac{Z(z)}{Z_0} = \frac{1 + \rho(z)}{1 - \rho(z)} \quad (12)$$

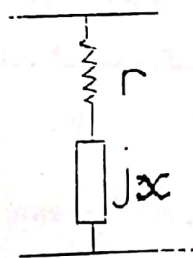
يرتبط عامل الإنعكاس مع الممانعة المختزلة بعلاقة من الشكل:



الشكل (3)

يمكننا الانتقال من الشكل الفرعي الأول للممانعة التي تتكون من مقاومة  $r$  موصولة على التسلسل مع ممانعة ردية  $x$  إلى الشكل التفرعي الثاني للممانعة والتي تتكون من مقاومة  $R$  موصولة على التسلسل مع الممانعة الردية  $X$ ، كما هو مبين بالشكل (4)، باستخدام العلاقة التالية:

$$\frac{1}{R} + \frac{1}{jX} = \frac{1}{r + jx} \quad (15)$$

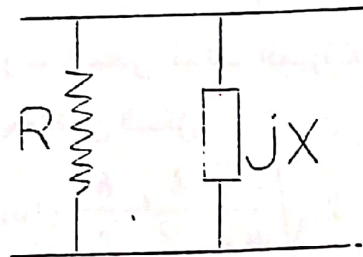


كما ترتبط الموجات الواردة مع الموجات المنعكسة على العائق بالعلاقة التالية {2}

$$\begin{pmatrix} E_1'' \\ E_2' \end{pmatrix} = \begin{pmatrix} \bar{\rho}^* & \bar{t}^* \\ \bar{t}^* & \bar{\rho}^* \end{pmatrix} \cdot \begin{pmatrix} E_1' \\ E_2'' \end{pmatrix} \quad (14)$$

بفرض أن:  $\bar{\rho}^* = -\frac{1}{1 + 2Z^*}$  و

$$\bar{t}^* = 1 + \bar{\rho}^*$$



الشكل (4)

### 3- نظرية الدارات ذات الستة منافذ:

تصنع الدارة المؤلفه من ستة منافذ (6 Ports) بشكل عام من الكابيل المحوري، باستخدام تفريعات موجهة (Directifs couplers) أو تفريعات محورية 3 dB. تكون هذه الدارة من منفذ موصول مع مولد الإشارة، وآخر موصول بالممانعة المراد قياسها والمنافذ الأربعة الباقية موصولة مع مسابر الإستطاعة، كما هو مبين في الشكل (5).

يرتبط الجهد المتولد عن كل مسير إرتباطاً مع عامل إنعكاس الممانعة المراد قياسها وذلك وفقاً للعلاقة التالية:

$$V_m = K_m E_i^2 \left[ 1 + \rho^* \exp\left(-j \frac{4\pi \cdot d_m}{\lambda_g}\right) \right]^2 \quad (16)$$

$$m=1,2,3,4$$

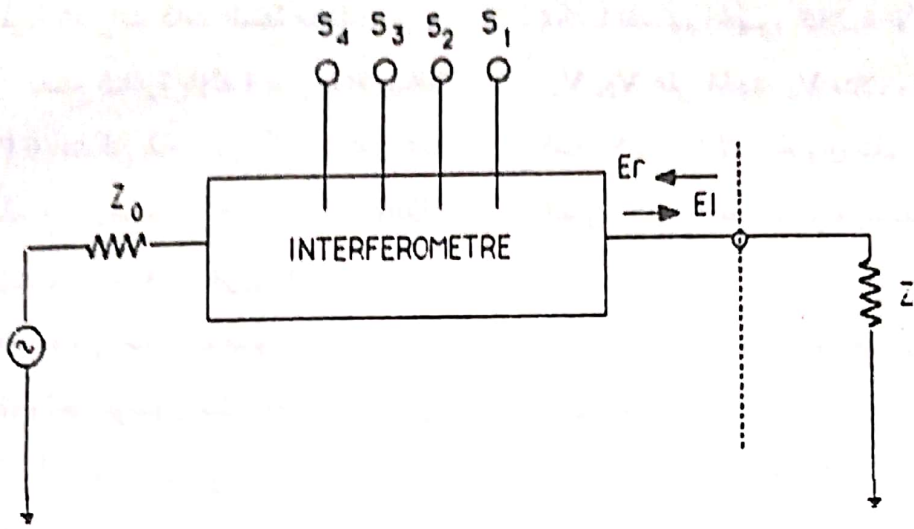
يمثل  $E_i$  مطال الموجة الواردة، أما  $\rho^* = \rho \exp(j\phi)$  فيمثل عامل الإنعكاس العقدي للممانعة المراد قياسها والموضوعة في مستوي مرجعي محدد  $P$ ،  $\lambda_g$  طول الموجة ضمن دليل الموجة وأما العامل  $K_m$  فيعرف حساسية المسير  $m$ .

في الحالة العامة، فإن أحد المسابر الأربعة الموصولة مع الدارة ذات الستة منافذ يقيس تقريباً إستطاعة الموجة الواردة، وبالتالي

يمكننا تقسيم الجهود الثلاثة الأخرى  $V_3$ ,  $V_2$ ,  $V_1$  على الجهد  $V_4$  مثلاً، ونحصل على جملة ثلاث معادلات تحوي على أحد عشر مجهولاً غير متعلقة بسوية إستطاعة الموجة الواردة.

يمكننا تعيين هذه المجاهيل باستخدام مجموعة مناسبة من الممانعات المرجعية من بينها الممانعة الملائمة Mached load، ممانعة الدارة المقصورة Shorted circuit وممانعة الدارة المفتوحة Open circuit.

لقد تبينا نظرية الدارات ذات الستة منافذ، ولكن اضطرارنا لإستخدام أدلة الموجة لم يكن مناسباً وذلك لأن تنفيذ دارة ذات ستة منافذ مصنوعة من دليل الموجة، يتطلب تفريعتين موجهتين على الأقل وهذا يعني الحصول على دارة ذات أبعاد هندسية كبيرة عند التردد 2450 MHz، بالرجوع للدوريات والمراجع المختصة توصلنا لتصميم خط دارة قياس (لاقط) مكون من أربعة مسابر، يفصل بين المسير والذي يليه مسافة ثابتة  $\lambda_g/8$ ، كما أنّ هذه المسابر مثبتة بشكل متناوب على طرفي الوجه الكبير لدليل الموجة ذات المقطع المستطيل RG 112-U.



الشكل (5).

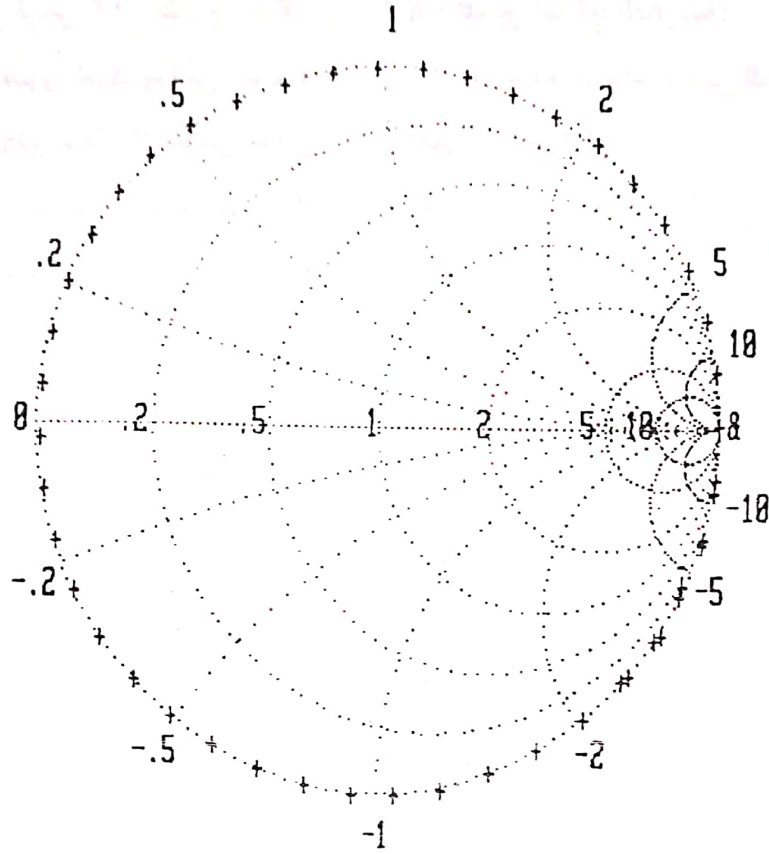
هو تعيين عناصر المصفوفة  $[\Sigma]$  التي تربط عكسياً الشعاع  $\vec{V}$  مع الشعاع  $\vec{R}$  وذلك باستخدام طريقة أصغر المربعات ومعايرة خط القياس بواسطة مكبس مقصور متحرك ضمن الدليل خلف مستوى الإرجاع. لقد بينا بأن عناصر المصفوفة  $[\Sigma]$  تتعين إحصائياً بشكل أفضل إذا تجنبنا إدخال المعطيات الناتجة عن الممانعة الملائمة عالية الجودة في الحساب، وهذا يعود لكون قيمة عامل الإنعكاس للدارات المقصورة تقترب من الواحد بشكل أفضل من إقتراب قيمة عامل الإنعكاس الممانعة الملائمة من الصفر.

يبين الشكل (6) عامل إنعكاس المكبس المقصور المتحرك وذلك بعد الأخذ بعين الاعتبار كل مواضيع المكبس المذكور في تحديد عناصر المصفوفة.

إن هذا الخط عبارة عن دائرة ذات ستة مسابر ولكن لا تطبق عليه النظرية العامة للدارات ذات الستة منافذ وذلك لأنه من الممكن أن يكون الجهد المتولد عن كل مسير من المسابر الأربعة معدوماً وذلك بحسب الممانعة المراد قياسها، وبالتالي لا يمكن إعتبار هذا الجهد قاسماً مشتركاً للجهود الثلاثة الأخرى.

#### 4- معايرة خط القياس:

بفرض أن الدارة خالية من العيوب، يمكننا تعريف شعاع  $\vec{R}$  من أجل كل ثنائي أقطاب موصول في مخرج اللاقط، الذي يتعلق بعامل إنعكاسه ويرتبط خطياً مع شعاع الجهود  $\vec{V}$  الموافق لمعطيات المسابر. أشرنا في المرجع {1} بأن الطريقة المفضلة لتحديد الشعاع  $\vec{R}$  بالإعتماد على معرفة الشعاع  $\vec{V}$ ،



الشكل (6).

تُلقى الشريحة المدروسة على نهاية

خط القياس، حيث تستقبل موجة واردة  $E_i$  وينعكس عنها موجة  $R^*$  كما تنقل غيرها موجة  $T^*$ . يمكننا قياس  $R^*$  مباشرة وذلك بوضع ممانعة حمولة ملائمة خلف الشريحة والتي تمتص الموجة  $T^*$ ، ندعو العامل

$$\rho_o^* = \frac{R^*}{E_i}$$

بعامل الإنعكاس المدخل الشريحة بوجود ممانعة الحمولة الملائمة.

5- التقنية المستخدمة في تعيين الخواص الكهروطيسية للشرائح الرقيقة:

يتم وصل الدارة المدروسة في نهاية خط القياس الثابت المدود بأربعة مسابر، بعد معايرته بوساطة مكبس مقصور متغير، يذودنا الحاسوب بقيمة عامل الإنعكاس العقدي  $\rho^*$  للممانعة المقاسة في مستوي مرجعي محدد بنهاية خط القياس.

## 6- تفسير النتائج التجريبية:

تم إجراء سلسلة من التجارب على خمس شرائح مختلفة.

- الشريحة رقم 1: عبارة عن غرافيت نقى متوضع على شريحة من النايلون mylar.
  - الشريحة رقم 2: عبارة عن الشريحة رقم 1 نفسها ولكن سماكتها هنا أكبر بعشر مرات.
  - الشريحة رقم 3: عبارة عن دهان ممزوج حجماً بالغرافيت بنسبة أقل من 0.1%.
  - الشريحة رقم 4: عبارة عن الشريحة رقم 3 نفسها ولكن سماكتها هنا أكبر بمرتين على الأقل.
  - الشريحة رقم 5: دهان مشحون حجماً بالغرافيت بنسبة 0.2%.
- تمثل الأشكال من 7 إلى 11 عامل إنعكاس الشريحة بتابعية موضع المكبس المقصور من أجل الشرائح الخمسة السابقة. بالرجوع للأشكال السابقة، يمكننا التحقق من أن جميع الدوائر المثلثة لعامل إنعكاس الشريحة بتابعية إنتقال المكبس المقصور تكون مماسة لدائرة الواحدة لمخطط سميث، كما أن الشرط بين  $\rho^*_c$  و  $\rho^*_a$  يحقق بشكل جيد، لأن حساب  $\rho^*_a$  بالإعتماد على  $\rho^*_c$  يعطي تقريباً  $\rho^*_a$ ، ونرمز للقيم المحسوبة لـ  $\rho^*_a$  بالإعتماد على  $\rho^*_c$  في الجدولين (1) و (2) بـ  $\overline{\rho^*_a}$ ، وقد وجدنا أن الخواص الكهروضوئية لشرائح الغرافيت النقي

من أجل قياس  $T^*$ ، نضع خلف الشريحة مكبساً مقصوراً بحيث يعكس الموجة  $T^*$  نحو الشريحة. يتغير عامل الإنعكاس المقاس للشريحة في مستوي الشريحة بتابعية المسافة  $d$  الفاصلة بين الشريحة والمكبس المقصور، بحيث يرسم دائرة في المستوي العقدي لمخطط سميث، التي يُعرف قطرها عاملي الإنعكاس  $\rho^*_c$  و  $\rho^*_0$  المقابلين لحالتين خاصتين للمكبس المقصور.

من أجل  $\rho^*_c$ ، يكون المكبس في مستوي الشريحة تماماً حيث يكون الحقل الكهربائي معدوماً في هذا الموضع،  $\rho^*_c = -1$ .

بالعكس عندما  $\rho^*_c = \rho^*_0$ ، تكون الشريحة في موضع حيث يكون الحقل الكهربائي أعظماً. ترتبط الأعداد العقدية  $\rho^*_0$ ،  $\rho^*_c$ ،  $\rho^*_a$  بمعادلة عقدية، أي بوساطة علاقتين بين أعداد حقيقية.

$$\rho^*_a = \frac{\rho^*_0 + \rho^*_c}{2 - \rho^*_c + \rho^*_0}$$

إذا مثلنا الممانعة المختزلة للشريحة بدارة مكافئة مؤلفة من مقاومة  $r$  موصولة على التسلسل مع ممانعة رديئة  $jx$  نحصل من دراسة الدارة على العلاقتين التاليتين:

$$r = \frac{-\cos\psi_a - \rho_a}{2\rho_a}, \quad x = \frac{-\sin\psi_a}{2\rho_a} \quad (17)$$

حيث  $\rho^*_a = \rho_a e^{j\psi_a}$  هو عامل الإنعكاس للشريحة بوجود ممانعة الحمولة الملائمة.



بالنسبة لشرائح الدهان المزروجة بالغرافيت، تملك نماعة ردية صغيرة، ولكنها غير مهملة، بينما تكون مقاومة الشرائح أكبر من مقاومة شرائح الغرافيت النقي. نلاحظ بأنه كلما انتشرت كمية الغرافيت القليلة المضافة إلى الدهان حيمياً بشكل أفضل، كلما كانت المقاومة ضعيفة.

تغير بتابعة سماكتها، فتتناقص مقاومتها بزيادة السماكة بينما تبقى قيمة الممانعة الردية صغيرة جداً، تغدو الشريحة ناقلة أكثر بقدر ما تكون سماكتها كبيرة، كما لو كانت الشريحة معدنية، وذلك لأن قيمة عامل إنعكاسها قريبة من 1- أي كأنها دارة مقصورة.

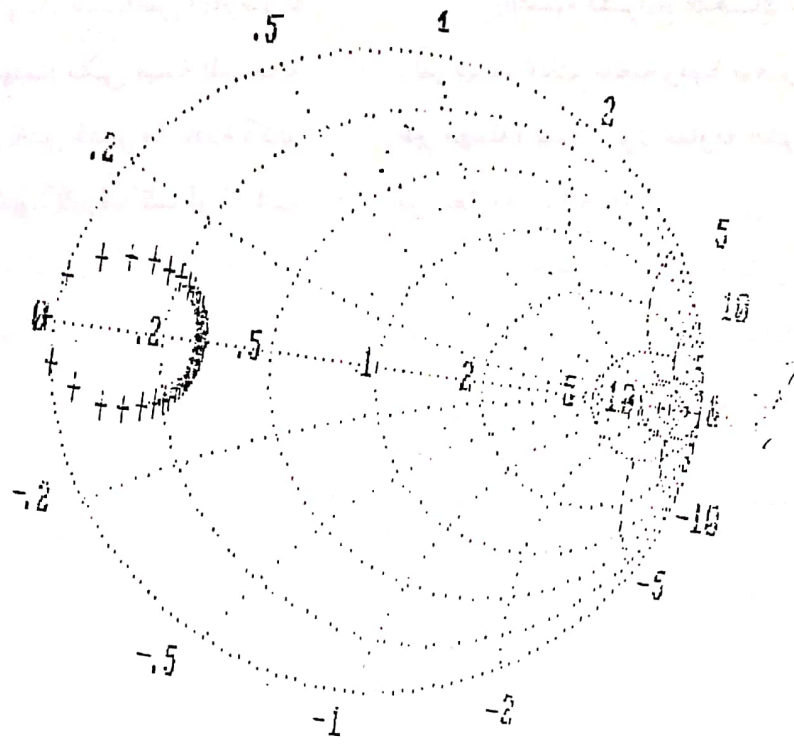
N°du film	$\rho_c$	Arg $\rho_c$	$\rho_0$	Arg $\rho_0$	$\rho_a$	Arg $\rho_a$	$\bar{\rho}_a$	Arg $\bar{\rho}_a$
1	1	3.14	0.55	3.14	0.64	3.16	0.63	3.14
2	1	3.14	0.89	3.14	0.91	3.14	0.9	3.14
3	0.99	3.14	0.91	6.2	0.0963	1.15	0.031	3.84
4	1	3.14	0.89	6.17	0.14	0.99	0.039	3.88
5	0.99	3.14	1	6.21	0.0854	3.68	0.018	4.69
6	1	3.14	1	6.21	0.0848	4.24	0.018	4.69

الجدول (1)

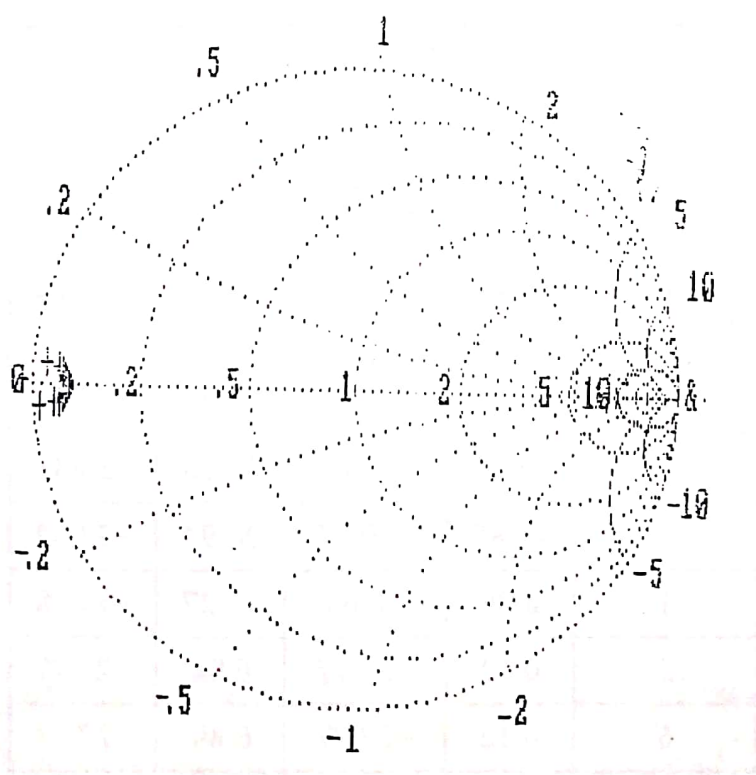
نلخص في الجدول (2) الخواص الكهروطيسية للشرائح السابقة.

N°du film	$\bar{r}$	$\bar{x}$	$\bar{R}$	$\bar{X}$
1	0.29	0.0013	0.29	68.22
2	0.056	0.00089	0.056	3.48
3	11.85	-10.37	20.93	-23.92
4	8.98	-8.63	17.27	-17.98
5	0.12	-27.77	6.8k	-27.77
6	0.12	-27.77	6.8k	-27.77

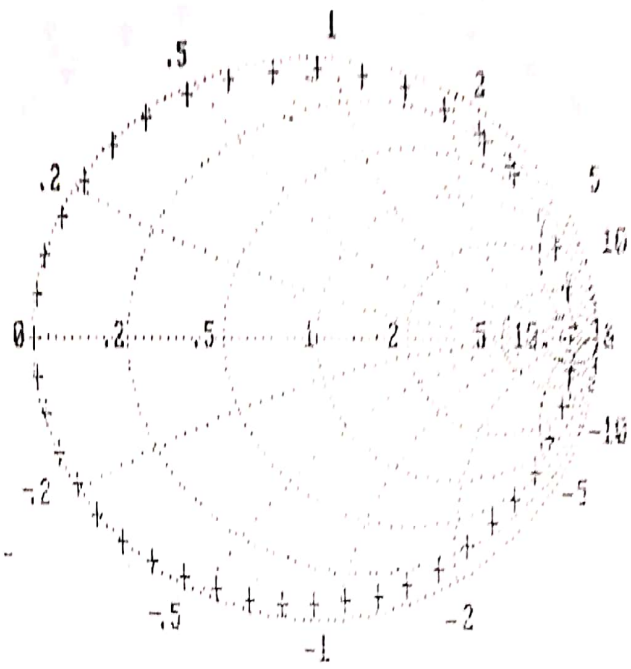
الجدول (2)



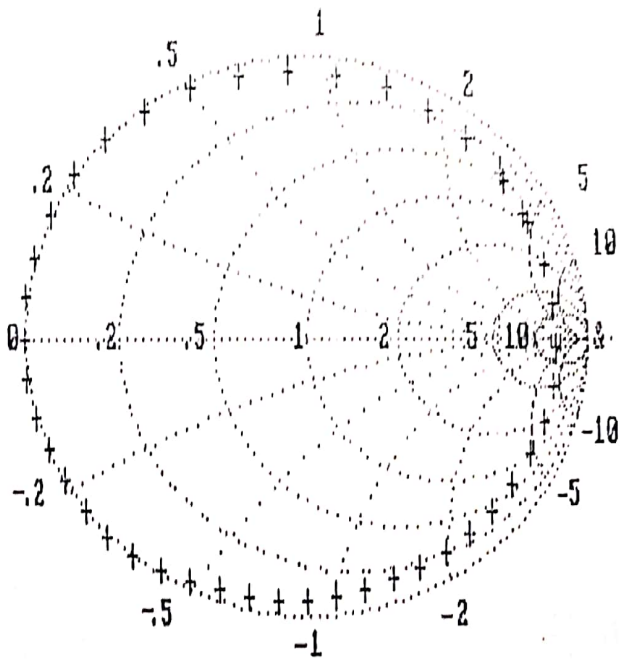
الشكل (7)



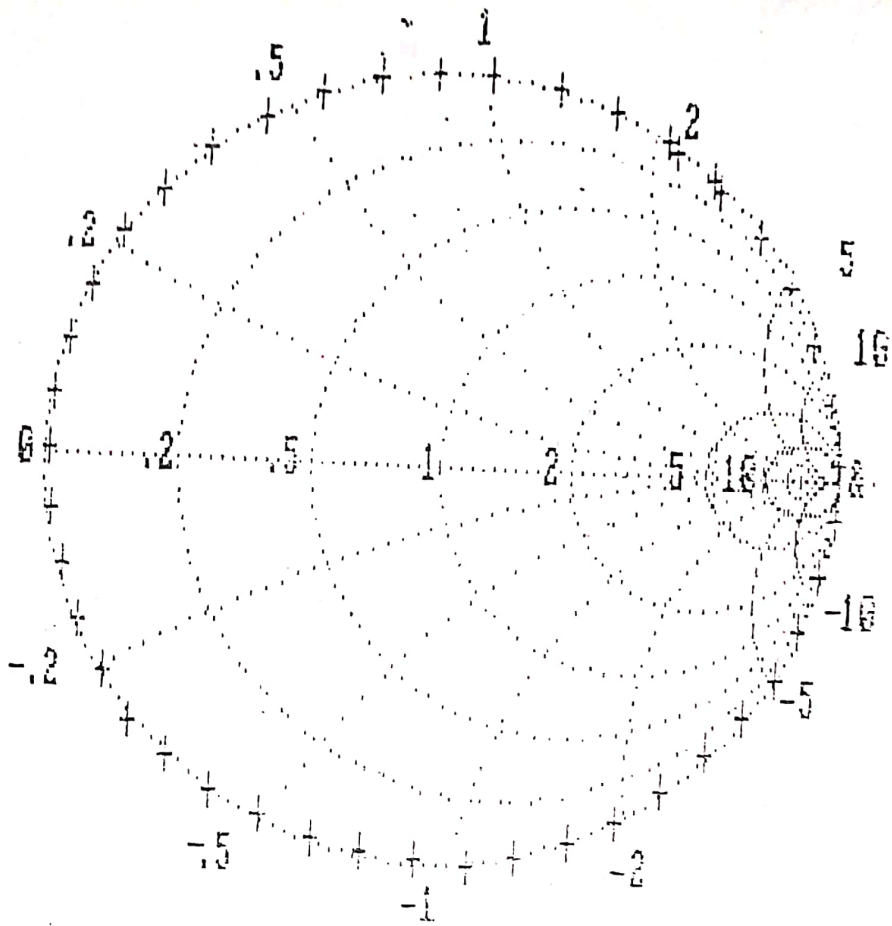
الشكل (8)



الشكل (9)



الشكل (10)



الشكل (11)

## RESUME

*Cet article concerne des mesures d'impédances des films absorbants au graphite dans un guide d'onde à 245 MHz afin de déterminer leurs caractéristiques électromagnétiques c'est une application importante de la méthode de mesure des impédances [1], qui utilise une ligne de mesure fixe à quatre sondes.*

*Après étalonnage des informations délivrées par les sondes au moyen d'un piston de court-circuit variable connecté au plan de référence. L'ordinateur fournit le coefficient de réflexion complexe du film mince collé sur la bride en déplaçant derrière adaptée, un court-circuit et un circuit ouvert. Les trois coefficients de réflexion mesurés précédemment nous permettent de déterminer simplement les caractéristiques électromagnétiques des films.*

## REFERENCES

- {1}- G. ROUSSY, J. M. THEBAUT, H. GHANEM et B. DICHTTEL  
"measure des impedances en guid d'onde avec une ligne de mesure fixe a quatre sondes", L'onde electrique, vol. 67 (1), pp. 80-86, jan 1988.
- {2}- G. GOUDET et CHAVANCE p.  
"ondes centimetriques", 1955 edition Chiron-Paris, pp. 67 et 155.
- {3}- B. HUYART  
"realisation d'un analyseur de reseau 6-ports dans la bande de frequence 2-18 GHZ." These de Doctorat, E. N. S. T. , juin 1986.
- {4}- HOER C. A  
"Calibring a six port reflectometer with four impedance standards",  
NBCTECH  
Note 1012, march 1979.
- {5}- G. F. ENGEN  
"Calibration the six port reflectometer by means of soliding terminations",  
IEEE Trans., vol. MTT-26, pp. 951-957, dec. 1978.
- {6}- AL. CULLIN, S. K. JUDAH and F. NIKRVESH.  
"Impedance measurement using a six-port directional coupler", IEEE  
Trans., vpl. 127, pt. H, n. 2, pp. 92-98, april 1980.